

Московский государственный технический университет им.Н.Э.Баумана
Калужский филиал
Приборостроительный факультет
Кафедра П2-КФ

Отчет

по лабораторной работе № 1

«Реализация полиномиальной функции на языке ассемблера с использованием команд сопроцессора»

по курсу

«Теория и проектирование ЭВМ и ВС»

Студент : Комиссаров А.В., гр.ЭВМ-102

Преподаватель : доцент Максимов А.В.

Калуга, 1999 г.

1. Задание на лабораторную работу

Вариант по списку - №25 :

$$f(x) = \csc x = 1 / \sin x;$$

$$|x_{\max}| = 3\pi / 4.$$

Дополнительные указания :

- число разрядов АЦП и ЦАП при моделировании $N = 16$;
- необходимо взять первые четыре ненулевых члена разложения функции в ряд Маклорена.

Требуется :

- написать и отладить программу на языке ассемблера с использованием команд процессора и математического сопроцессора;
- сравнить оба варианта по точности (построить графики результата и ошибки), по скорости выполнения, по объему используемой памяти. Определить фактическую максимальную глубину регистрового стека при использовании команд FPU.

2. Математический алгоритм и масштабные соотношения

Разложение исходной функции косеканса в ряд Маклорена, в котором взяты только первые четыре члена, имеет вид :

$$f(x) \approx \frac{1}{x} + \frac{1}{6}x + \frac{7}{360}x^3 + \frac{31}{15120}x^5. \quad (2.1)$$

Разложение функции в ряд сходится на всем рассматриваемом интервале $x \in \left[-\frac{3\pi}{4}; \frac{3\pi}{4}\right]$ за исключением точки $x = 0$, в которой данная функция является неограниченной.

При выполнении лабораторной работы в предыдущем семестре (разрабатывался вариант реализации функции с использованием обычных команд процессора) был выбран следующий математический алгоритм :

$$f(x) \approx \frac{1}{x} + \frac{x}{6} \cdot \left[1 + \frac{x^2}{60} \cdot \left(7 + \frac{31}{42} \cdot x^2 \right) \right]. \quad (2.1.1)$$

$$u_1 = \frac{1}{x}; \quad u_2 = \frac{x}{6}; \quad u_3 = x \cdot x; \quad u_4 = \frac{u_3}{60}; \quad u_5 = \frac{31}{42} \cdot u_3; \quad u_6 = 7 + u_5; \quad u_7 = u_4 \cdot u_6; \quad u_8 = 1 + u_7; \\ u_9 = u_2 \cdot u_8; \quad y = u_{10} = u_1 + u_9.$$

Машинный алгоритм для случая реализации с использованием обычных команд процессора, а также масштабные соотношения были получены при выполнении лабораторной работы №2 предыдущего семестра (см. отчет по упомянутой лабораторной работе). Здесь приведем лишь масштабные соотношения для аргумента и результата :

$$\mathcal{M}_x = 2^{-2}; M_x = 2^{-2} \cdot 2^{15} = 2^{13};$$

$$\mathcal{M}_y = 2^{-14}; M_y = 2^{-14} \cdot 2^{15} = 2^1.$$

Машинное представление констант (с учетом соответствующих константам двоичных масштабов) имеет следующий вид :

$$\bar{1} = 4000h; \bar{6} = 6000h; \bar{60} = 7800h; \left(\frac{31}{42}\right) = 5E79h; \bar{7} = 7000h.$$

3. Листинг программы с использованием обычных команд процессора

```

1          dosseg
2      0000      .model tiny
3      0000      .code
4          .486
5      0000      SEGMENT1:
6      0000 B8 0000s      mov     ax, @code
7      0003 8E D8          mov     ds, ax
8      0005          PROG:
9          ;u1 = 1/x
10     0005 B8 4000      mov     ax, const1
11     0008 99          cwd
12     0009 8B 1E 00A2r   mov     bx, X
13     000D F7 FB          idiv    bx
14     000F A3 00A6r     mov     u1, ax
15
16          ;u2 = x/6
17     0012 33 C0          xor     ax, ax
18     0014 8B 16 00A2r   mov     dx, X
19     0018 BB 6000 90     mov     bx, const6
20     001C D1 FA          sar     dx, 1
21     001E D1 D8          rcr     ax, 1
22     0020 F7 FB          idiv    bx
23     0022 A3 00A8r     mov     u2, ax
24
25          ;u3 = x*x
26     0025 A1 00A2r     mov     ax, X
27     0028 8B 1E 00A2r   mov     bx, X
28     002C F7 EB          imul   bx
29     002E D1 E0          sal     ax, 1
30     0030 D1 D2          rcl     dx, 1
31     0032 D1 E0          sal     ax, 1
32     0034 D1 D2          rcl     dx, 1
33     0036 89 16 00AAr   mov     u3, dx
34
35          ;u4(cx)=u3/60
36     003A 33 C0          xor     ax, ax
37     003C 8B 16 00AAr   mov     dx, u3
38     0040 BB 7800 90     mov     bx, const60
39     0044 D1 FA          sar     dx, 1
40     0046 D1 D8          rcr     ax, 1
41     0048 F7 FB          idiv    bx
42     004A 8B C8          mov     cx, ax
43
44          ;u5=(31/42)*u3
45     004C B8 5E79      mov     ax, const31_42
46     004F 8B 1E 00AAr   mov     bx, u3
47     0053 F7 EB          imul   bx

```

```

48      0055 D1 E0          sal    ax, 1
49      0057 D1 D2          rcl    dx, 1
50
51
52          ;u6(ax) = 7+u5=7+[dx]
53      0059 B8 7000        mov    ax, const7
54      005C D1 F8          sar    ax, 1
55      005E D1 FA          sar    dx, 1
56      0060 03 C2          add    ax, dx
57
58          ;u7(dx) = u4(cx)*u6
59      0062 F7 E9          imul  cx
60      0064 D1 E0          sal    ax, 1
61      0066 D1 D2          rcl    dx, 1
62
63          ;u8(ax) = 1+u7(dx)
64      0068 B8 4000        mov    ax, const1
65      006B D1 F8          sar    ax, 1
66      006D D1 FA          sar    dx, 1
67      006F 03 C2          add    ax, dx
68
69          ;u9(dx)=u2*u8(ax)
70      0071 8B 1E   00A8r  mov    bx, u2
71      0075 F7 EB          imul  bx
72      0077 D1 E0          sal    ax, 1
73      0079 D1 D2          rcl    dx, 1
74      007B D1 E0          sal    ax, 1
75      007D D1 D2          rcl    dx, 1
76
77          ;u10 = u1 + u9(dx)
78
79      007F A1 00A6r        mov    ax, u1
80      0082 83 FA   00          cmp    dx, 0
81      0085 7D 08   90 90        jge    AboveZero
82      0089 B9 FFFF        mov    cx, 0FFFFh
83      008C EB 03   90          jmp    Next
84      008F                                AboveZero:
85      008F 33 C9          xor    cx, cx
86      0091                                Next:
87      0091 D1 E2          sal    dx, 1
88      0093 D1 D1          rcl    cx, 1
89      0095 D1 E2          sal    dx, 1
90      0097 D1 D1          rcl    cx, 1
91
92
93      0099 03 C1          add    ax, cx
94      009B A3 00A4r        mov    Y, ax
95
96
97      009E                                FINISH:
98      009E B4 4C          mov    ah, 4ch
99      00A0 CD 21          int    21h
100     00A2                                DATA_:
101
102         =4000          const1    equ    4000h
103         =6000          const6    equ    6000h
104         =7800          const60   equ    7800h
105         =5E79          const31_42 equ    5E79h
106         =7000          const7    equ    7000h
107     00A2 0001          X        dw    0001h ;4B33h
108     00A4 ????          Y        dw    ?
109     00A6 ????          u1       dw    ?
110     00A8 ????          u2       dw    ?
111     00AA ????          u3       dw    ?
112
113
114

```

END SEGMENT1

4. Листинг программы с использованием команд блока FPU

```

1          dosseg
2      0000      .model tiny
3      0000      .code
4          .486
5      0000      SEGMENT1:
6      0000 B8 0000s      mov ax, @code
7      0003 8E D8      mov ds, ax
8      0005      PROG:
9      0005 9B DB E3      finit
10         ;calc 31/42
11      0008 DB 2E 0100r      fld const31
12      000C DB 2E 010Ar      fld const42
13      0010 DE F9      fdivp st(1),st
14      0012 DD D1      fst st(1)
15      0014 DB 3E 0114r      fstp const31_42
16         ;calc the arg physval
17      0018 DF 06 008Er      fld X
18      001C DB 2E 00CEr      fld Mx
19      0020 DE F9      fdivp st(1),st ;X/Mx, result in st
20         ;now calculates the approximation
21         ;store the X
22      0022 DD D1      fst st(1)
23      0024 DB 3E 009Cr      fstp XFP
24         ;u1 = 1/x
25      0028 D9 E8      fld1 ;1 now is in the top, st(1) = x
26      002A D8 F1      fdiv st,st(1) ;result in st
27      002C DD D1      fst st(1)
28      002E DB 3E 00A6r      fstp u1
29         ;u2=x/6
30      0032 DB 2E 00E2r      fld Six ;6 in the top, st(1)=u1
31      0036 DB 2E 009Cr      fld XFP ;X=st, 6=st(1), st(2)=u1
32      003A D8 F1      fdiv st,st(1) ;st=u2
33      003C DD D1      fst st(1)
34      003E DB 3E 00B0r      fstp u2
35         ;u3=x*x
36      0042 DB 2E 009Cr      fld XFP
37      0046 DB 2E 009Cr      fld XFP
38      004A DE C9      fmulp st(1),st ;st=u3
39         ;
40      004C DD D1      fst st(1) ;u3 in st(0),st(1)
41         ;u4=u3/60
42      004E DB 2E 00ECr      fld Sixty ;60=st,st(1,2)=u3
43      0052 DE F9      fdivp st(1),st ;st=u4,st(1)=u3
44      0054 DB 3E 00C4r      fstp u4 ;st=u3
45         ;u5=(31/42)*u3
46      0058 DB 2E 0114r      fld const31_42 ;st=31/42,st(1)=u3
47      005C DE C9      fmulp st(1),st
48         ;u6=7+u5
49      005E DB 2E 00F6r      fld Seven
50      0062 DE C1      faddp st(1),st ;st=u6
51         ;u7=u4*u6
52      0064 DB 2E 00C4r      fld u4
53      0068 DE C9      fmulp st(1),st ;st=u7
54         ;u8=1+u7
55      006A D9 E8      fld1
56      006C DE C1      faddp st(1),st ;st=u8
57         ;u9=u2*u8

```

```

58 006E DB 2E 00B0r fld u2
59 0072 DE C9 fmulp st(1),st ;st=u9
60 ;y=u10=u1+u9
61 0074 DB 2E 00A6r fld u1
62 0078 DE C1 faddp st(1),st
63 ;calc the mach res
64 007A DD D1 fst st(1)
65 007C DB 3E 0092r fstp YFP
66 0080 DB 2E 00D8r fld My
67 0084 DE C9 fmulp st(1),st
68 0086 DF 16 0090r fist Y
69 008A FINISH:
70 008A B4 4C mov ah, 4ch
71 008C CD 21 int 21h
72 008E DATA_:
73 ;---variables---
74 008E B49B X dw -19301;4B33h 0001h
75 0090 ??? Y dw ?
76 0092 ?????????????????? YFP dt ?
77 009C ?????????????????? XFP dt ?
78 00A6 ?????????????????? u1 dt ?
79 00B0 ?????????????????? u2 dt ?
80 00BA ?????????????????? u3 dt ?
81 00C4 ?????????????????? u4 dt ?
82 ;---scales---
83 00CE 400C80000000000000 Mx dt 8192.0
84 00D8 400080000000000000 My dt 2.0
85 ;---constants---
86 00E2 4001C0000000000000 Six dt 6.0
87 00EC 4004F0000000000000 Sixty dt 60.0
88 00F6 4001E0000000000000 Seven dt 7.0
89 0100 4003F8000000000000 const31 dt 31.0
90 010A 4004A8000000000000 const42 dt 42.0
91 0114 ?????????????????? const31_42 dt ?
92
93 END SEGMENT1

```

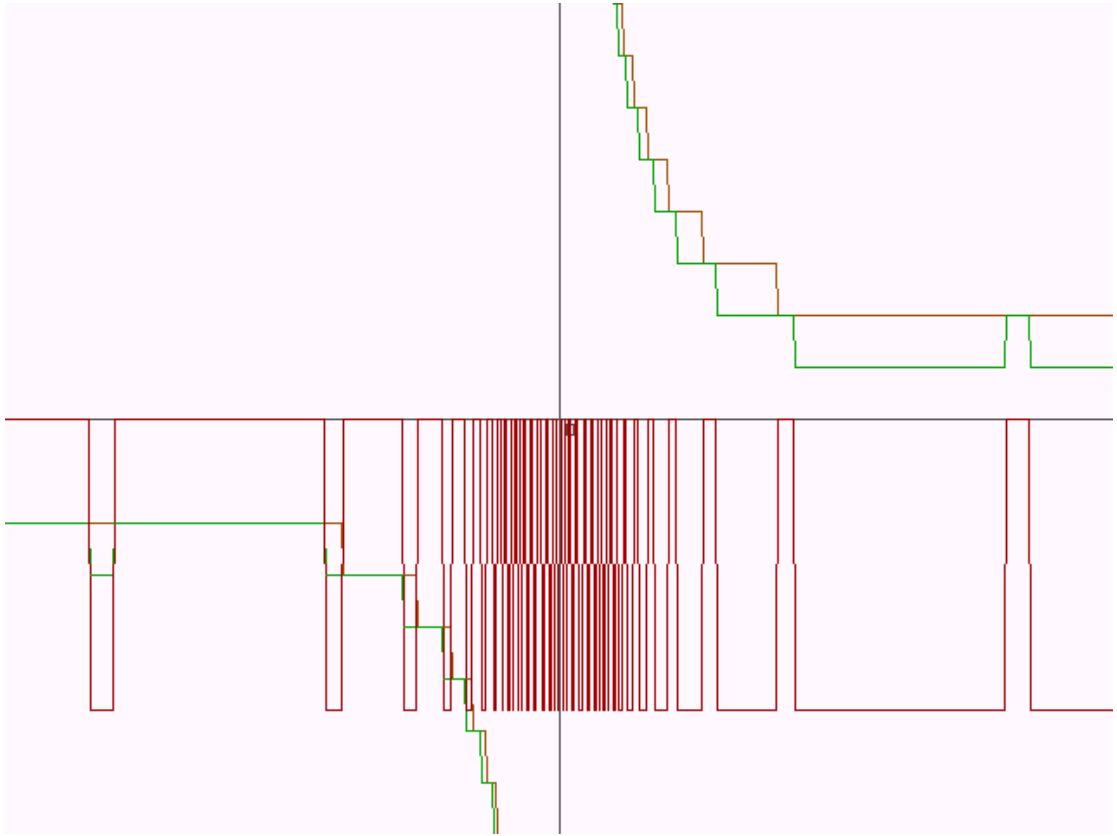
5. Сопоставление вариантов

Из анализа приведенных листингов и результатов исполнения программ видно, что :

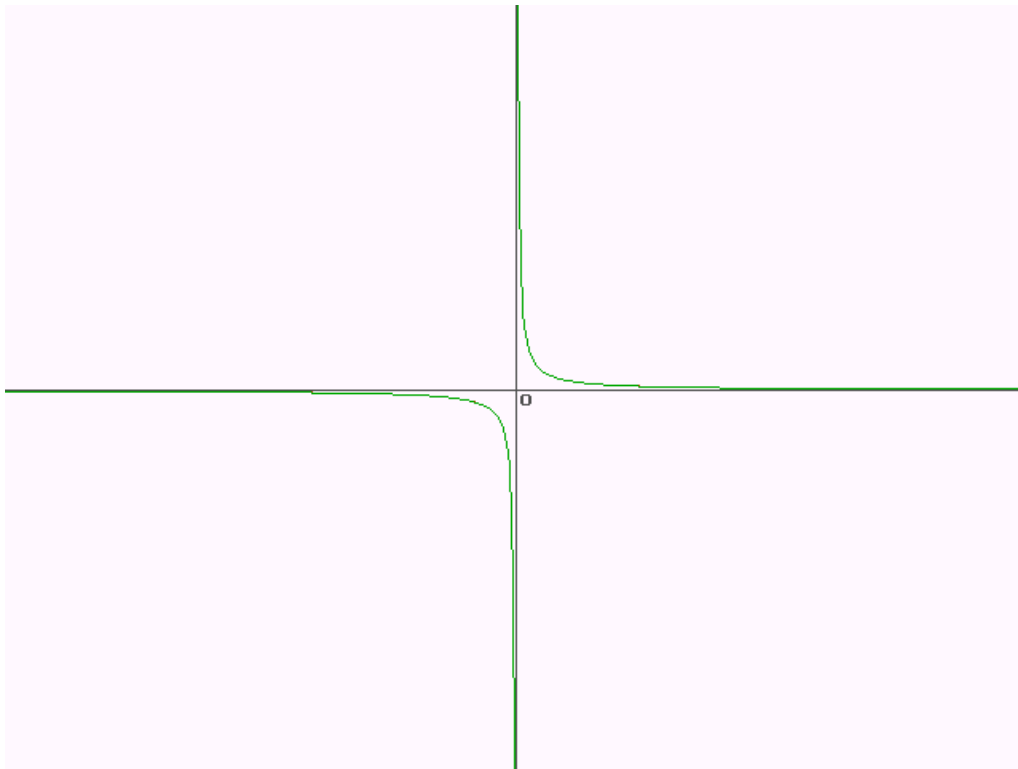
- Вариант с использованием команд сопроцессора FPU занимает меньше места в памяти машины (соответственно 162 и 142 байт; если не учитывать код, вычисляющий константу 31/42, то объем занимаемой памяти в случае команд FPU составит 126 байт);
- Вариант с использованием FPU дает более точный результат за счет повышения точности промежуточных вычислений за счет большего числа разрядов, отводимых под представление мантиссы (64 информационных разряда мантиссы в случае использования регистров FPU, 15 информационных разрядов формата с фиксированной запятой - в случае использования регистров CPU). Ошибка вычислялась по формуле

$$E_i = |y_i - f_i|, \quad (2.1)$$

где y_i - текущее значение реализуемой с использованием обычных регистров команд CPU, а f_i - текущее значение эталонной функции (график построен для случая машинных значений, а мат.ожидание и дисперсия вычислены для физич.значений). Ниже приводятся графики реализации полинома для обоих случаев, а также график ошибки (в качестве эталонного взято значение реализации функции на FPU) :



Максимальное по модулю значение функции равно 4. Полный интервал изменения аргумента. В нижней части также показан график ошибки



Максимальное по модулю значение функции равно 8193,42. Интервал изменения аргумента сокращен в 96 раз

Математическое ожидание ошибки реализации можно подсчитать по формуле :

$$M[E] = \frac{\sum E_i}{2n}, \quad (2.2)$$

После прогона программы получаем значение математического ожидания ошибки, приблизительно равное -0,25.

Дисперсию (квадрат среднеквадратического отклонения) ошибки реализации можно подсчитать по формуле :

$$D[E] = M[E^2] - M^2[E]. \quad (2.3)$$

После прогона программы получаем значение дисперсии ошибки, приблизительно равное 0,0625.

- Вариант с использованием FPU выполняется медленнее, чем вариант с использованием обычных команд CPU. Эксперимент, проведенный с использованием программы, разработанной с средств среды программирования Delphi в системе Windows*, показал, что при прогоне ассемблерного блока в цикле 2 000 000 раз получаются приблизительно следующие результаты (число экспериментов = 10) :

CPU	4,67 с	4,67 с	4,72 с	4,72 с	4,66 с	4,73 с	4,67 с	4,67 с	4,67 с	4,67 с
FPU	7,69 с	7,69 с	7,68 с	7,69 с	7,63 с	7,69 с	7,69 с	7,63 с	7,69 с	7,69 с

Средние значения в этом случае соответственно равны 4,69 и 7,68 сек. Следовательно, алгоритм, использующий FPU, работает в среднем в около 1,64 раза медленнее.

- Максимальная глубина стека при реализации на FPU (т.е. количество непустых регистров стека) составляет 4.

* Тестирование проводилось на одном и том же значении аргумента